

九州大学工学部 正員 井島武士

" 学生員 ○ 塩沢俊彦

" 谷顯正和

運輸省 正員 尾崎重雄

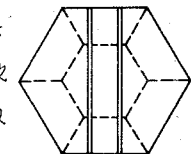
九州大学工学部

小林彰

有馬龍昭

## 1 緒 論

防波堤又は岸壁は水理的な構造様式として、水の運動を完全に遮断する直立壁体と透水性を持つ捨石又は異型ブロックの斜面堤とに分けられる。後者はすべて外側面は透水性の傾斜面より成り、これにより波のエネルギーを一部吸収し、一部透過されることになる。こゝでは図1に示す様なフランジを持つ柱錐状ブロックより構成される直立壁面を持つ壁体の消波又は透水性及び波圧の合力について予備的な実験を行い、この型の壁体を防波堤及び岸壁として使用することの可能性について調べたものである。



## 2 壁体形状

(1) 防波堤の場合 これは現在箱崎地区港湾防波堤計画に用いられているものの1/23縮尺のものを使用した。2F壁体の側面図を図2に示す。(こゝで2Fとは錐を2つ有するブロックの略。以下同様。) 商ブロック部分の空隙率は2F, 3F壁について各々50.5%, 46%である。こゝで3Fは2Fに更に一つ錐を附けたもので、その他の寸法は2Fと同じである。直立遮断壁は同じマウンド上に高さ 1m のコンクリート方塊を置いたものである。

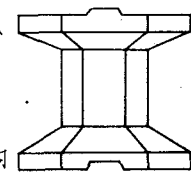


Fig. 1

(2) 岸壁の場合 実験模型は実際の1/15位の縮尺を想定したもの用いた。即ち図4の様に底盤上にブロックを3列3層に積み、その上に上板を載せ後面を板で封じた。ブロック部の空隙率は2, 3F各々55.3%, 50.5%である。比較の為用いた直立遮断壁は高さ64cmである。テトラポットの場合には直立壁の前面にこれを並べたものを用いた。

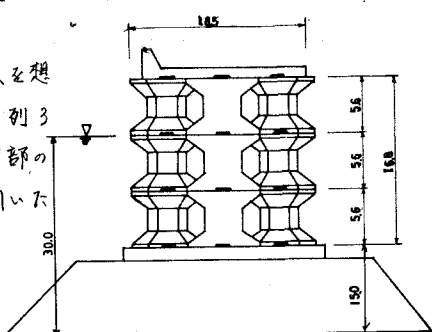


Fig. 2 (単位 cm)

## 3 実験装置

(1) 防波堤の場合 水槽は深さ0.6m幅1m全長2.2mで、フランジ式造波装置を有したものである。波高計は堤の後方50cmに容量式を一台設置した。波力測定台は図3に示す様に堤を置く載荷台を製作台から吊下したもので、圧力測定の為のリングが組み込まれている。載荷台のブロック載荷時の固有振動周期は0.23秒で、水中

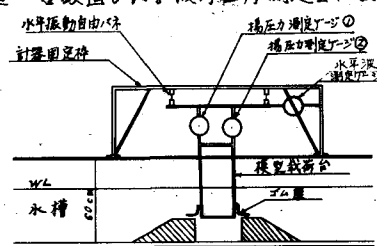


Fig. 3

~153~

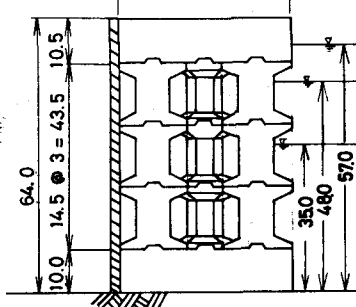


Fig. 4 (単位 cm)

この減衰率は 0.73 であった。

(2) 岩壁の場合 水槽は深さ 0.8 m 幅 0.8 m 長さ 2.0 m で造波装置はフラップ式である。波高計は容量式を壁前面 6 m に一台設置した。波丘合力測定装置は図 5 の様な鉄製パイプで壁体を支持し適当な場所にストレインゲージを貼付したものである。パイプのプロック壁載荷時の固有周期は 0.37 秒 減衰率は水中で 0.40 位だった。

#### 4 実験方法

(1) 防波堤の場合 反射率  $K_r$  は波の当たっている状態を撮影してそのフィルムにより波高を読み取りセリーラーの方法で得た。透過率  $K_t$  は堤内波高  $H_i$  を入射波高  $H$  で除して求めた。波丘はリンク式トレインゲージを貼付しひずみ変化を記録してこれを測定した。使用した  $H$  は 0.8 ~ 8.0 cm 周期  $T$  は 0.8 ~ 1.4 秒 水深  $a$  は 30 cm とした。以上の場合で 2, 3 F 堤及び遮断壁について実験を行った。

(2) 岩壁の場合  $K_r$  は 岩壁前方の波高計で  $H$  及び反射波高  $H_r$  を測定し  $K_r = H_r/H$  とした。波丘はゲイシでパイプのひずみ変化を記録することによりこれを得た。用いた  $H$  は 3 ~ 12 cm  $T$  は 1.0 ~ 1.9 秒で水深  $a$  を 35, 48, 57 cm に変えて 2, 3 F 壁遮断壁及びテトラポッドについて実験を行った。

#### 5 実験結果

(1) 防波堤の場合  $K_r$  は 直立堤では 70 ~ 85 % であるのに對し 2 F では 30 ~ 50 % 3 F では 40 ~ 55 % の値を示している。(図 6 参照)  $K_t$  は 2, 3 F 共に傾向は類似しているが 2 F で 15 ~ 50 % 3 F で 10 ~ 40 % である。(図 7 参照) 水平圧は 2 F で 0.3 3 F で 0.4 程度の値を示している。又揚圧力については 2 F で 0.2 ~ 0.4 3 F で 0.25 ~ 0.5 である。(図 8, 9 参照) ここで  $P_h, P_u$  は各々水平圧、揚圧力  $B$  は堤体幅  $H/L$  は波形勾配を示すグラフでは各圧力を無次元化してある。)

(2) 岩壁の場合  $K_r$  は  $a=35, 48, 57$  cm の時は 2 F で大体 15 ~ 45 % 3 F で 20 ~ 60 %  $a=57$  cm で 2, 3 F 共に  $a$  が大きいのはプロック工の上板の位置に静水面があるために上板が直立壁の様な役割をしたからと思われる。(図 10, 11, 12 参照) 水平圧は両プロック共に  $P_h > 0.1$  ~ 0.4 程度である。(図 13 参照) 揚圧は 2 F で 0.1 ~ 0.5 3 F で 0.05 ~ 0.25 である。(図 14 参照)

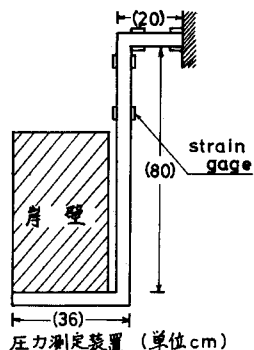


Fig. 5

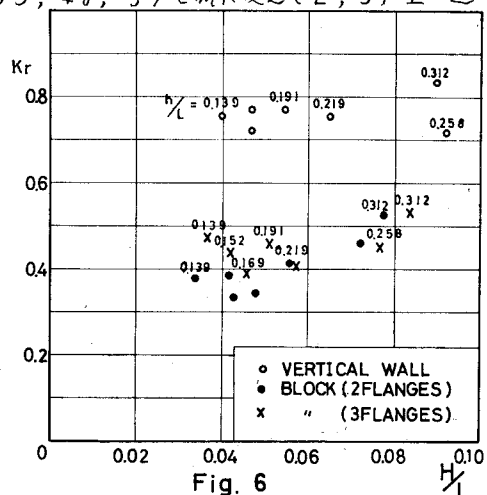


Fig. 6

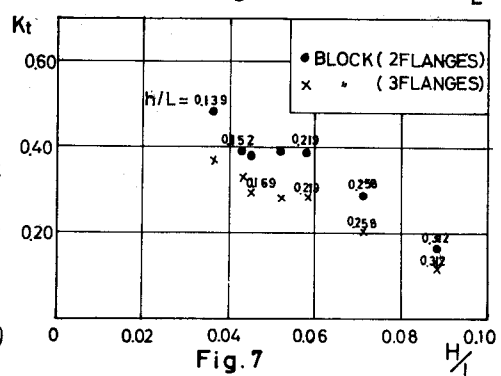


Fig. 7

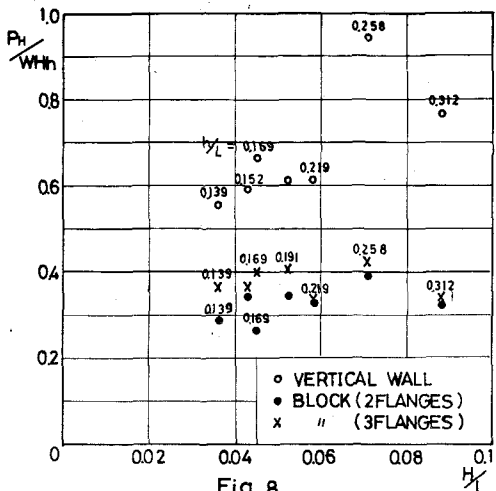


Fig. 8

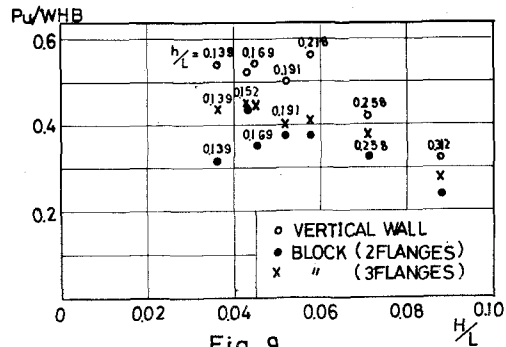


Fig. 9

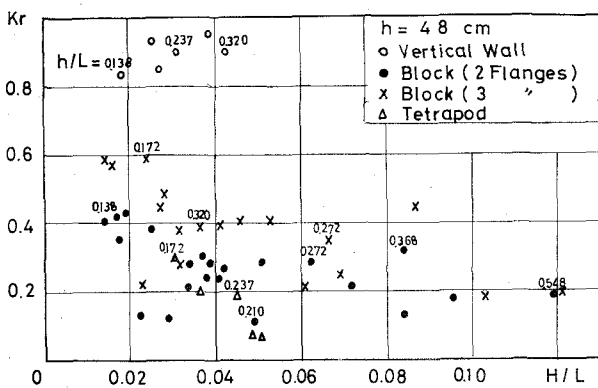


Fig. 11

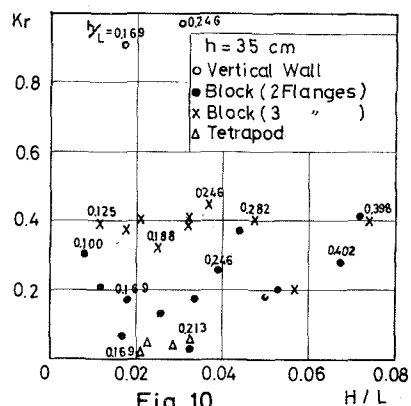


Fig. 10

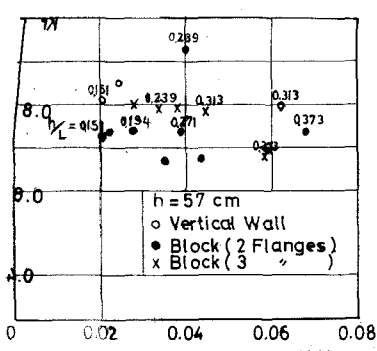


Fig. 12

## 6 結 論

### (1) 防波堤について

a. 透過率, 反射率  
2F, 3F堤共に  $H/L$  の減少に伴い  $K_r$  は増しているが、空隙の少い 3F 堤が 2F 堤に比べやゝ小さい値を示している。しかし 2F 堤の場合でも  $K_r$  は 50% 以下となりていて、 $K_r$  は 2F 堤で直立遮断壁の 45~65%, 3F 堤で 50~65% と前者の方がやゝ小さい値を示している。

b. 水平圧力, 握圧力  
水平圧力は 2F で 遮断壁の 40~45%, 3F で 45~65% 程

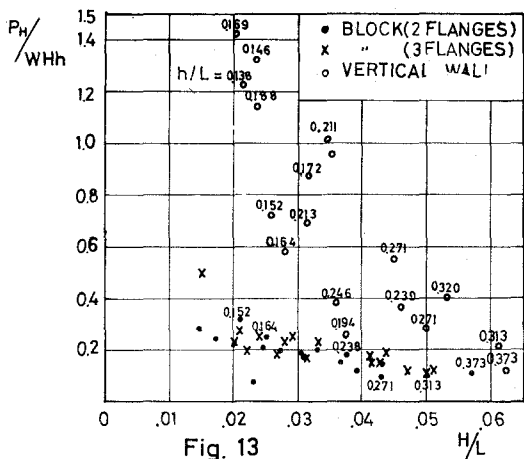


Fig. 13

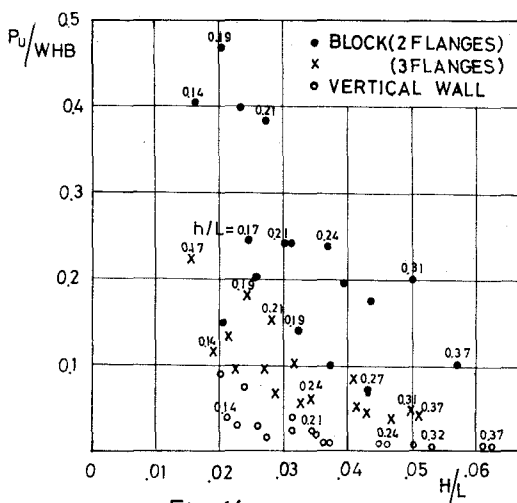


Fig. 14

値を示してはいるが、同じ位の遮断壁の20~40%程度である。揚圧力は、2Fの場合が、遮断壁の5~10倍、3Fの場合が2~5倍で、2Fと3Fとではかなり差があり、又防波堤の場合とは順序が逆になっている。その他水平、揚圧共にカムが大なる程、大きいことが認められる。

以上の実験結果から見て、この柱螺プロワクの実用性というものが十分高いといふことが言えるであろう。

度であり、直立遮断壁に比べると、両プロック堤共に  $H/L$  に関する変化が少ないのである。又、揚圧力については、2F堤で遮断壁の約70%、3F堤で約80%の値を示している。記録波形を見ると、堤体の反射による入射波の変形と重複波圧における2倍周波数成分の影響と思われる短周期波が入っていられるが、遮断壁ではかなり認められなかったが、ブロック堤の場合にこれが著しく減少している。このことは、このブロック堤では反射波を生ずることが少ない為、堤前面における波形の変形が少く、従って直立壁体に対するより一層衝撃的圧力が発生し難いことを意味している。尚、破壊実験を行ったところ、このブロック堤が、一体性を持てば、直立遮断壁と同程度の安定性を有するとも判明した。

## (2) 肩壁について

a. 反射率 プロックの機能が十分發揮できなかつた水深57cmの場合を除けば、2フランシで直立遮断壁の5~50%，3フランシで20~70%の値を示し、又2フランシにおいてはテトラポットの場合と比較しても、ほど同程度であることが認められる。

6. 水平圧力 揚圧力 水平力は  
2Fの方が3Fの場合に比べてやうに大き